



## مدل سازی برآورد زیست توده چوبی روی زمینی جنگل های شاخه زاد بلوط زاگرس با استفاده از داده های راداری ماهواره سنتینل-۱

سعید ساروئی<sup>۱\*</sup>، علی اصغر درویش صفت<sup>۲</sup>، منوچهر نمرانیان<sup>۳</sup>

۱. دانشجوی دکتری جنگلداری، گروه جنگلداری و اقتصاد جنگل، دانشکده منابع طبیعی، دانشگاه تهران

۲. استاد گروه جنگلداری و اقتصاد جنگل، دانشکده منابع طبیعی، دانشگاه تهران

۳. استاد گروه جنگلداری و اقتصاد جنگل، دانشکده منابع طبیعی، دانشگاه تهران

تاریخ پذیرش مقاله: ۱۳۹۹/۰۲/۲۸

تاریخ دریافت مقاله: ۱۳۹۸/۰۹/۲۰

### چکیده

برآورد میزان زیست توده در توده های جنگلی با روش های سنجش از دوری اهمیت بسیاری دارد. هم زمان نبودن دریافت داده های ماهواره ای و اطلاعات میدانی و کاربرد معدالت آلموتربیک جهانی، برای محاسبه وزن زیست توده درختان جنگلی داخل کشور، از مهم ترین دلایل عدم قطعیت در نتایج و تحلیل های حاصل از مطالعات مشابه قبلی به شمار می روند. به حدائق رساندن این مشکلات و بررسی قابلیت و عملکرد داده ها در توسعه مدل مناسب برآورد زیست توده جنگل، در منطقه بانکول بخش کارزان شهرستان سیروان، استان ایلام، با استفاده از داده های راداری ماهواره سنتینل-۱، اخذ شده در تاریخ ۶ تیرماه ۱۳۹۶، هدف این تحقیق بود. اندازه قطر میانگین تاج پوشش درختان در ۵۳ نقطه نمونه زمینی مربوط به فرم رویشی شاخه زاد، به ابعاد  $30 \times 30$  متر که در بازه زمانی ۲ تا ۲۰ خرداد ۱۳۹۶، به کمک دستگاه موقعیت یاب جهانی تفاضلی و به روش تعیین موقعیت کیمیاتیک آنی روی زمین اجرا و برداشت شدند، وارد روند برآورد زیست توده شد. میانگین زیست توده برداشت شده میدانی  $10.63 \text{ تن} / \text{درهکتار}$  بود. پس از استخراج ویژگی های راداری، آن دسته از ویژگی ها که بیشترین میزان همبستگی را با مقادیر زیست توده داشتند انتخاب و از بین آنها، با به کار گیری الگوریتم ژنتیک و با استفاده از دو مدل رگرسیون K نزدیک ترین همسایه و رگرسیون بردار پشتیبان، مناسب ترین ترکیب ویژگی ها شناسایی و سپس، مقادیر زیست توده مدل سازی شد. اعتبار سنجی مدل ها با استفاده از  $26$  قطعه نمونه تست، انجام گرفت. همبستگی بین ویژگی های حاصل از داده های راداری و مقادیر زیست توده نشان داد که ویژگی های VH، Mean VH GLCM (Correlation)، Mean VV GLCM (Dissimilarity) و RMSE بیشترین حساسیت را به مقادیر زیست توده داشتند. استفاده از مدل های رگرسیون نشان داد که روش رگرسیون بردار پشتیبان، با نسبی  $0.008$ ، از روش رگرسیون K نزدیک ترین همسایه، با RMSE نسبی  $0.010$ . دقیق تر عمل کرده است. از بین ترکیب های ویژگی مورد بررسی نیز، بهترین ترکیب در حالت استفاده از رگرسیون K نزدیک ترین همسایه، دارای RMSE به میزان تقریبی  $0.099 \text{ تن} / \text{درهکتار}$  (معادل  $10.1\%$ ) و ضریب تعیین  $0.223$  و در حالت استفاده از رگرسیون بردار پشتیبان، دارای RMSE به میزان  $0.087 \text{ تن} / \text{درهکتار}$  (معادل  $8\%$ ) و ضریب تعیین  $0.14$  بود. مدل های نهایی حاصل از ترکیب ویژگی های بهینه استخراج شده از داده راداری در طول موج باند C و روش های رگرسیونی پارامتری و غیر پارامتری مورد بررسی در این تحقیق به تهیه ای قادر به بهبود اثر اشباع شدگی در داده، برای برآورد زیست توده در جنگل های مورد مطالعه، نبودند و منجر به پیشنهاد مدل برآورد کننده ای با صحت قابل قبول نشد.

**کلیدواژه ها:** زیست توده جنگل شاخه زاد بلوط زاگرس، داده راداری سنتینل-۱، الگوریتم ژنتیک، Rگرسیون بردار پشتیبان.

\* نویسنده مکاتبه کننده: تهران، خیابان آیت الله طالقانی، وزارت جهاد کشاورزی، پلاک ۳۶۹، طبقه سیزدهم، دفتر توسعه صادرات- کدبستی: ۱۴۶۱۱-۱۴۹۳۴. تلفن: ۰۹۱۲۵۱۳۶۵۱۴.

## ۱- مقدمه

اندازه‌گیری می‌شوند، مانند قطر برابر سینه، ارتفاع درخت یا ابعاد تاج پوشش، مورد توجه بسیاری از Burrows et al, 2000, 2012 (Sohrabi & Shirvani, 2012) ایرانمنش<sup>۱</sup> و همکاران، در سال ۱۳۹۳، مقدار زیست‌توده و ذخیره کربن روی زمینی را در دو فرم رویشی دانه‌زد و شاخه‌زد بلوط ایرانی<sup>۲</sup>، به صورت نمونه‌ای و با قطع درختان نشانه‌گذاری شده و عملیات خشک‌کردن و تعیین چگالی، اندازه‌گیری کردند. نتایج این پژوهش، ضمن اینکه میانگین زیست‌توده و ذخیره کربن این دو فرم رویشی در منطقه را به تفکیک قسمت‌های متفاوت درخت و نیز در طبقه‌های قطری و تاجی گوناگون ارائه می‌دهد، درواقع، نوعی جدول برآورد زیست‌توده و کربن به حساب می‌آید (Iranmanesh et al., 2014).

این چنین روش‌های قدیمی‌ای معمولاً پرزحمت و پرهزینه بوده و در سطح وسیع، به سختی اجرا می‌شوند و نمی‌توان آنها را در فواصل زمانی کوتاه، تکرار کرد. به علاوه، در مناطق کوهستانی، اجرای این روش‌ها ناممکن یا بسیار دشوار خواهد بود. بنابراین، استفاده از تکنولوژی سنجش از دور، به منزله یکی از روش‌های غیرمخرب، برای برآورد زیست‌توده روی زمینی Amini & Sadeghi, 2013; Yadav & Nandy, 2015.

مطالعاتی در این مورد با استفاده از داده‌های نوری، راداری و ترکیبی از آنها و با بهره‌گیری از داده‌های میدانی در داخل و بهویژه، خارج از کشور انجام شده است که نتایج بخشی از آنها رضایت‌بخش بوده و نتایج بخشی نیز نشان می‌دهد که استفاده از داده‌های سنجش از دور، برای برآورد زیست‌توده روی زمینی، هنوز با مشکلاتی همراه است (Nichol & Sarker, 2016; Ronoud & Darvishsefat., 2016; Ramadan & Darvishsefat., 2010). رمضانی و صاحبی<sup>۳</sup> (۲۰۱۵)، با استفاده هم‌زمان از تصاویر نوری

ناحیه رویشی زاگرس، با زیر پوشش قراردادن بازده استان کشور، حدود یک‌سوم جمعیت و بیش از نیمی از دامهای کشور را در خود جای داده و ۴۰٪ از کل نزولات، ۴۰٪ از آبهای جاری، ۳۳٪ از آبهای سطحی و ۴۰٪ مساحت جنگلهای کشور (معادل پنج میلیون هکتار) را به خود اختصاص داده است. همچنین، به دلایل متعدد اجتماعی- اقتصادی، سیاسی و بوم‌شناسی، از عرصه‌های کلیدی کشور به شمار می‌آید (Attarod et al., 2016). متأسفانه عوامل تخریبی گوناگونی، از جمله دامداری سنتی، قطع درختان و بازشدن تاج، کشاورزی، آتش‌سوزی و نیز برخی مدیریت‌های نامناسب اعمال شده ویژگی‌های خاک و پوشش گیاهی را چهار تغییر کرده است (Heydari et al., 2015). جنگل، علاوه‌بر اینکه منبع اصلی ذخیره کربن زمین است، منبع اقتصادی مهم و تأمین‌کننده مواد و انرژی مورد نیاز بشر محسوب می‌شود و توزیع مکانی آن در بیشتر کارکردهای اکوسیستمی، از جمله حفاظت از تنوع زیستی، تأثیر می‌گذارد. تخریب جنگلهای موجب جریان زیادی اکسید کربن (جذب و انتشار) می‌شود و اثر پرنگی در چرخه جهانی کربن و سیستم آب‌وهواهی دارد (Baghdadi et al., 2014). این نقش اکوسیستم‌های جنگلی در مقدار جهانی کربن، که بیشتر تحت تأثیر تغییرات جهانی قرار گرفته است، نیاز به تجزیه و تحلیل عمیق دینامیک ذخیره کربن را در کنار سایر عوامل اقلیمی، تشدید می‌کند (Galidaki et al., 2017). برآورد زیست‌توده روی زمینی، که عبارت است از وزن ماده خشک اجزای زنده اکوسیستم و با واحد تن در هکتار بیان می‌شود، از طریق اندازه‌گیری‌های زمینی، مستلزم نمونه‌برداری مخرب یا اندازه‌گیری مستقیم است. در این روش‌ها، به قطع درختان و سپس خشک‌کردن آنها و اندازه‌گیری زیست‌توده کل درخت بهدلیل آنکه اندازه‌گیری مستقیم زیست‌توده کل درخت و اجزای آن مخرب، وقت‌گیر و پرهزینه است، استقرار معادلات آلمتریک براساس متغیرهایی که به آسانی

1. Iranmanesh  
2. Quercus brantii  
3. Ramezani & Sahebi

مطالعات مشابه قبلی، بهبود ببخشد. عطارچی و گلواگن<sup>۱</sup> (۲۰۱۴)، برای مدل‌سازی زیست‌توده روی‌زمینی جنگل‌های لوهه‌گران، با استفاده از داده‌های PALSAR ETM+ و راداری سنجنده AVLOS، روش‌های رگرسیونی خطی چندمتغیره را اعمال کردند. طبق نتایج این پژوهش، با افزودن داده راداری در مدل‌سازی، ضریب تعیین بهاندازه ۰.۱۵ و محدود میانگین مربع خطابه میزان ۶.۴۶ تن در هکتار بهبود یافت. در تحقیقی دیگر، دنگ<sup>۹</sup> و همکاران (۲۰۱۴)، با استفاده از داده‌های نوری سنجنده WorldView-2 و راداری سنجنده PALSAR، زیست‌توده روی‌زمینی بخشی از جنگل‌های چین را مدل‌سازی کردند. در این تحقیق نیز، نتایجی مشابه با تحقیق اخیر کسب شد. بهرا<sup>۱۰</sup> و همکاران (۲۰۱۶)، برای برآورد میزان کربن و زیست‌توده روی‌زمینی در جنگل‌های Tectona grandis و Shorea robusta، از شاخه‌زاد PALSAR ماهواره ALOS با داده‌های باند L سنجنده PALSAR ماهواره ALOS با تفکیک مکانی ۲۵ متر و مدل WCM<sup>۱۱</sup> استفاده کردند. میانگین میزان زیست‌توده مرجع زمینی در این جنگل‌ها، به ترتیب، ۴۴۴ و ۴۵۱ تن در هکتار بود. بهترین نتیجه برآورد زیست‌توده با ویژگی HV برای هر دو جنگل، به ترتیب، با بیش برآورده معادل ۱۳۹ و ۱۴۸ تن در هکتار (معادل ۰.۳۰۸۲٪) و ضریب تعیین ۰.۷۱ و ۰.۷۲. حاصل شد. نتایج این تحقیق پتانسیل قابل قبول استفاده از داده‌های یک‌زمانه<sup>۱۲</sup> راداری پلاریزه شده

1. Genetic Algorithm (GA)
2. Artificial Neural Network
3. Amini & Sadeghi
4. Root Mean Square Error
5. Sumantryo
6. Ghasemi
7. Wavelet
8. Attarchi & Gloaguen
9. Deng
10. Behera
11. Water Cloud Model
12. One time data

سنجدنده AVNIR-2 (تفکیک مکانی ۱۰ متر) و تصویر راداری باند L سنجنده PALSAR ماهواره برای برآورد زیست‌توده روی‌زمینی منطقه شمالی جنگل خیروودکنار، باندهای بهینه را با استفاده از الگوریتم ژنتیک<sup>۱</sup> انتخاب کردند و بهترین نتیجه را از مدل شبکه عصبی مصنوعی<sup>۲</sup> به دست آوردند. ارزیابی نتایج حاصل از اعمال شبکه عصبی و تحلیل رگرسیون بیانگر دقت بالای ۷۰٪، با استفاده از شبکه عصبی، و حدود ۱۵٪، با تحلیل رگرسیون، بود. اینی و صادق<sup>۳</sup> (۲۰۱۳)، به منظور مدل‌سازی زیست‌توده جنگل، در جنگل‌های طبیعی حوزه شفارود و دست‌کاشت حوزه چوکای گیلان، تصاویر نوری (پانکروماتیک سنجنده PRISM و چندطیفی سنجنده AVNIR-2) و راداری PALSAR ماهواره ALOS را به کار برند. در این تحقیق، قطر و ارتفاع درختان در ۲۸ قطعه نمونه زمینی بهروش نمونه‌ای برداشت و برای تولید معادله محلی اقدام شد و تحلیل رگرسیون چندمتغیره، با ضریب تعیین ۰.۷۳، و محدود میانگین مربع خطأ ۱۳.۸۸ تن در هکتار به منزله بهترین مدل برآورد معرفی شد. تحقیق امینی و سومانتیو<sup>۵</sup> (۲۰۰۹) به منظور برآورد زیست‌توده جنگل، با استفاده از چهار باند تصویر نوری سنجنده AVNIR-2 ماهواره ALOS و چهار ویژگی بافت بهینه تصویر SAR ماهواره JERS شامل کنتراست، انحراف معیار، همبستگی و حداقل اختلال و مدل شبکه عصبی شبیه‌ساز چندلایه انجام شد. نتایج این پژوهش نشان داد به کاربردن هم‌زمان تصاویر نوری و راداری دقت برآورد را افزایش می‌دهد. مقدار محدود میانگین مربع خطأ، در بهترین نتیجه این تحقیق، ۲.۱۷۵ (تن) به دست آمد که به طور معنی‌داری کمتر از نتیجه روش‌های قبل تراز آن بود. قاسمی<sup>۶</sup> و همکاران (۲۰۱۲)، با تجزیه و تحلیل داده‌های راداری PALSAR و روش رگرسیون خطی چندمتغیره در جنگل خیروودکنار، نشان دادند که مدل‌سازی مبتنی بر موجک<sup>۷</sup> توانسته است نتایج برآورد زیست‌توده روی‌زمینی را به میزان ۷۵٪ حتی بیشتر، در مقایسه با نتایج

پروژه بود که در آوریل ۲۰۱۴ در مدار قرار گرفت. شناسایی مناطق قطع یکسره و قطع پارسالی، طبقه‌بندی تیپ‌ها، شناسایی آشفتگی و برآورد زیست‌توده از کاربردهای این ماهواره در مدیریت پایدار جنگل بیان شده است. تحقیق چانگ و شوشانی<sup>۲</sup> (۲۰۱۶) پتانسیل داده‌های راداری ماهواره سنتینل-۱ را در ترکیب با داده‌های نوری ماهواره سنتینل-۲، برای تهیه نقشه زیست‌توده روی‌زمینی در جنگل‌های مدیرانه‌ای، نمایان کرد.

بررسی مطالعات مشابه نشان می‌دهد که انجام دادن برخی از آنها، بهویژه مواردی که داخل کشور انجام شده‌اند، با محدودیت‌ها و مشکلاتی همراه بوده که گاه نتایج تحقیق را تحت تأثیر قرار داده است. از مهم‌ترین عوامل مؤثر، می‌توان به اینها اشاره کرد: محدودیت دسترسی به داده‌های ماهواره‌ای به‌هنگام در مناطق جنگلی دلخواه، ناهم‌زمانی دریافت داده‌های ماهواره‌ای و اطلاعات میدانی و در نتیجه، لحاظ‌نشدن رویش و تخریب جنگل در اندازه‌گیری زیست‌توده، نبود اطمینان به کیفیت و صحت اطلاعات میدانی، فقدان شفافیت در نحوه محاسبه زیست‌توده روی‌زمینی جنگل به‌کمک مشخصه‌هایی مانند قطر برابریه، بعد از تاچ‌پوشش و ارتفاع درختان، کاربرد معادلات آلمتریک جهانی برای محاسبه وزن زیست‌توده درختان جنگلی داخل کشور (مطالعات داخلی)، بروز خطا هندسی در شناسایی و پیاده‌سازی محل قطعات نمونه زمینی به‌کمک دستگاه موقعیت‌یاب جهانی دستی و در نتیجه، نبود انتبار دقیق مرز قطعه نمونه‌ها روی تصاویر ماهواره‌ای و مشکل در انتخاب بهترین ترکیب باندی و استفاده حداکثری از توان داده‌های ماهواره‌ای.

استفاده از اطلاعات نامتناسب با موضوع و تکراری موجود در تصاویر ماهواره‌ای ممکن است منجر به حصول اهداف دیگری، غیر از هدف تحقیق، شود (Haddadi et al., 2011).

1. Laurin

2. Chang & Shoshany

ماهواره PALSAR، برای برآورد زیست‌توده روی‌زمینی، و موجودی کرین را در جنگل‌های متراکم شاخه‌زاد نمایان کرد (Behera et al., 2016). لائورین<sup>۱</sup> و همکاران (۲۰۱۸) ۴۴ ویژگی (متغیر)، با بالاترین همبستگی با مقدار زمینی زیست‌توده روی‌زمینی، از داده‌های چندزمانی باند C راداری ماهواره سنتینل-۱ با دو پلاریزاسیون VV و VH، چهار ویژگی از باند L سنجنده-۲ ALOS با دو پلاریزاسیون HH و HV و ده باند طیفی و دو شاخص گیاهی (جمعاً دوازده ویژگی) از داده‌های نوری ماهواره سنتینل-۲ را استخراج و برای ساخت مدل زیست‌توده روی‌زمینی جنگل‌های پهن برگ مدیترانه‌ای استان ویتروبو ایتالیا به کار بردند. در این تحقیق، برای انتخاب ویژگی‌های بهینه، از آزمون‌های رگرسیون گام‌به‌گام استفاده شد که بهترین نتیجه، از داده‌های چندزمانی راداری سنتینل-۱ با ویژگی S1 VH-VV و با ضریب تعیین ۰.۵۵ و محدود میانگین مربع خطأ، ۲۶ تن در هکتار به دست آمد. با افزودن چهار ویژگی باند L سنجنده-۲ ALOS به ویژگی‌های چندزمانی سنتینل-۱ و سپس، اضافه کردن ویژگی‌های انتخاب شده از داده‌های نوری، ضریب تعیین به ترتیب ۰.۷۱ و ۰.۶۷ و محدود میانگین مربع خطأ ۷۴.۵ تن در هکتار حاصل شد. در این تحقیق، نتیجه گرفته شد که داده‌های ماهواره سنتینل-۱ نتایج خوبی در جنگل‌های مدیترانه‌ای، با زیست‌توده بالاتر از ۴۰ تن در هکتار، به دست می‌آورد و این منبع داده که به رایگان در دسترس است، با وجود کمبود داده ماهواره‌ای مناسب برای تهیه نقشه زیست‌توده جنگل، مدل‌سازی و برآورد زیست‌توده جنگل را ممکن می‌کند.

امروزه بسیاری از سنجنده‌های نوری، لیزری و راداری ماهواره‌ها، در طول موج‌های متفاوتی، سطح زمین را پایش می‌کنند. از پیشرفت‌های ماهواره‌ها، سری ماهواره‌های سنتینل (پروژه مشترک آژانس فضایی اروپا و اتحادیه اروپا) است و ماهواره راداری سنتینل-۱A، در محدوده باند C، اولین ماهواره این

ویژگی‌ها استخراج و در ادامه، مقادیر زیست‌توده، با دو روش رگرسیون بردار پشتیبان و K نزدیک‌ترین همسایه، مدل‌سازی شدند. روش‌های پارامتریک رگرسیون خطی و غیرپارامتریک شبکه عصبی مصنوعی و جنگل تصادفی<sup>۹</sup> نیز، به منظور مدل‌سازی زیست‌توده، بررسی شد که، با توجه به نتایج پایین‌تر آنها در قیاس با دو روش مورد بررسی در این تحقیق، از ذکر نتایج آنها در این مقاله صرف‌نظر شده است.

## ۲- مواد و روش‌ها

### ۲-۱- منطقه مورد مطالعه

منطقه تحقیق در مساحتی حدود ۲۰۰۰ هکتار از جنگل‌های منطقه بانکول بخش کارزان، در شهرستان سیروان در استان ایلام، بین ۴۶ درجه و ۲۷ دقیقه تا ۴۶ درجه و ۳۱ دقیقه طول شرقی و ۳۳ درجه و ۴۵ دقیقه تا ۳۳ درجه و ۴۸ دقیقه عرض شمالی واقع است که پوشیده از جنگل خالص بلوط، با فرم‌های رویشی شاخه‌زاد (حدود ۴۰-۷۰٪ منطقه) و دانه‌زاد (حدود ۴۰-۳۰٪ منطقه)، و با تراکم تاج پوشش کم تا انبوه است و توپوگرافی نسبتاً ملایمی دارد. دامنه ارتفاع آن از سطح دریا ۱۵۰۰-۱۲۰۰ متر است. تحقیق حاضر براساس هدف در بخش شاخه‌زاد آن انجام شده است (شکل ۱).

### ۲-۲- داده‌های سنجش از دور

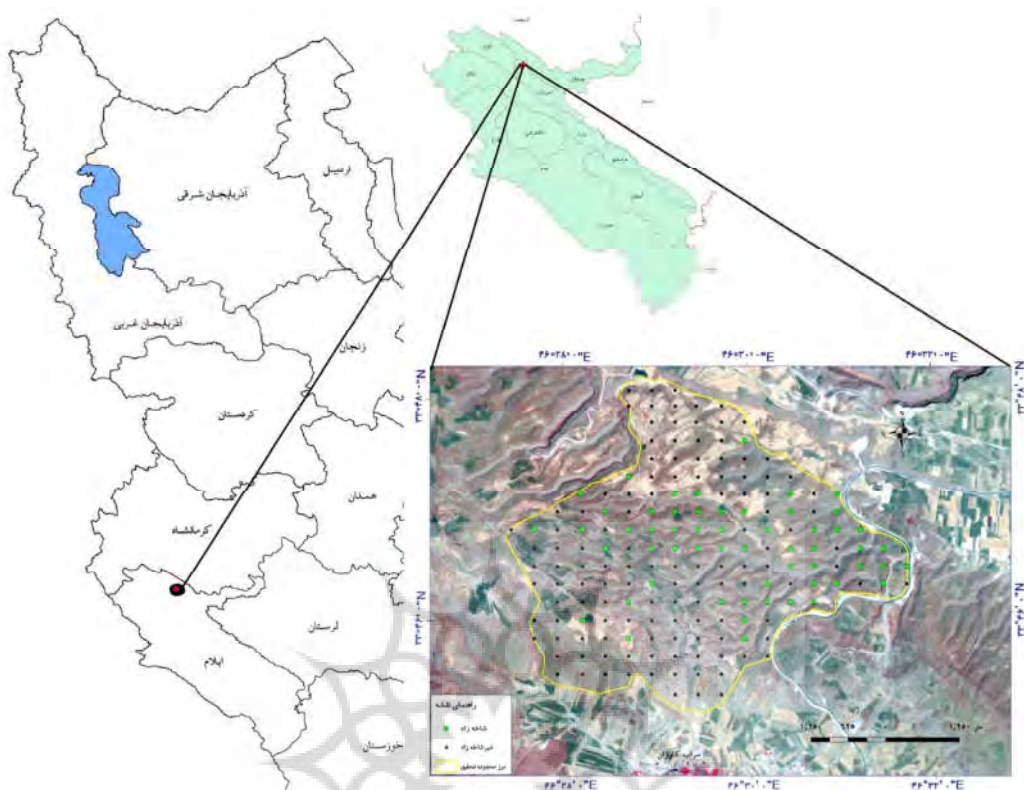
در این تحقیق، داده‌های باند C را داری با روزنۀ مجازی<sup>۱۰</sup> ماهواره سنتینل-۱A، با قطبش‌های دوکاناله<sup>۱۱</sup> VH و<sup>۱۲</sup> VV در حالت نوار پهن تداخل‌سنج<sup>۱۳</sup>،

1. Scattering Mechanisms
2. Fitness Function
3. Selection
4. Crossover
5. Mutation
6. Roulette Wheel
7. Support Vector Regression (SVR)
8. K-Nearest Neighbor
9. Random Forest
10. SAR (Synthetic Aperture Radar)
11. Dual polarization
12. Interferometric Wide Swath Mode

مفید را استخراج کرد که بیشترین اختلاف را بین مکانیسم‌های پخش<sup>۱</sup> ایجاد می‌کنند و نیز، حداقل تعداد ویژگی را از بین همه ویژگی‌ها انتخاب کرد که، در عین حال، حاوی حداقل اطلاعات ممکن باشند. بدین ترتیب، منطقی است که تعداد ورودی‌ها کاهش می‌یابد و ویژگی‌هایی که در بهبود نتیجه تأثیری ندارند نادیده گرفته می‌شوند. راحلهای عملی متعددی، برای انتخاب ویژگی‌های بهینه، وجود دارد که الگوریتم ژنتیک یکی از قوی‌ترین آنهاست. این الگوریتم تکنیکی است مبتنی بر اصل انتخاب طبیعی داروین که در تجزیه و تحلیل‌های بهینه‌سازی کاربرد دارد و در ساختار آن کروموزوم، عملگرهای برازش<sup>۲</sup>، انتخاب<sup>۳</sup>، تقاطع یا ترکیب مجدد<sup>۴</sup>، جهش<sup>۵</sup> و همچنین چرخه رولت<sup>۶</sup> به کار می‌رود و در مطالعات سنجش از دور برای انتخاب بهینه‌ترین متغیرها، از بین تعداد بی‌شماری از متغیرها (باندهای اصلی و محاسباتی)، برمبنای اندازه‌های تعریف‌شده برای این عملگرها عمل می‌کند (Sukawattanavijit et al., 2017).

حال چنانچه سعی شود مشکلات مورد اشاره به نحو مقتضی برطرف شود و یا به حداقل ممکن برسد، تحلیل نتایج حاصل از پژوهش می‌تواند مبنای صحیح‌تری برای قضایت و تصمیم‌گیری باشد.

هدف از این تحقیق بررسی توان داده‌های راداری ماهواره سنتینل-۱ در توسعه مدل برآورده زیست‌توده روی‌زمینی جنگل‌های شاخه‌زاد زاگرس، با تأکید بر به حداقل رساندن محدودیت‌های ذکر شده، است. استخراج ویژگی‌های راداری و مشخص کردن مناسب‌ترین ویژگی‌ها، مدل‌سازی برآورده زیست‌توده با ترکیب ویژگی‌های متفاوت حاصل از به کار گیری الگوریتم بهینه‌یابی ژنتیک و دو مدل رگرسیون بردار پشتیبان<sup>۷</sup> و K نزدیک‌ترین همسایه<sup>۸</sup>، و تعیین مناسب‌ترین ترکیب ویژگی‌های راداری حاصل از سنجنده سنتینل-۱ برای برآورده زیست‌توده منطقه مورد مطالعه از مهم‌ترین موارد انجام شده در این تحقیق محسوب می‌شوند. درواقع، ابتدا، مناسب‌ترین ترکیب



شکل ۱. موقعیت منطقه مورد مطالعه در نقشه ایران، استان آیام و شهرستان سیروان و نیز پراکنش و قطعات نمونه برداشت شده روی تصویر رنگی Resampled Sentinel-2 843 2017 منطقه

## ۲-۲-داده‌های سنجش از دوری

در این تحقیق، داده‌های باند C را داری با روزنامه مجازی<sup>۵</sup> ماهواره سنتینل-۱A، با قطبش‌های دوکاناله VV و VH و در حالت نوار پهن تداخل‌سنج<sup>۶</sup>، مربوط به تاریخ ۶ تیر ۱۳۹۶، با پهنای باند ۲۵۰ کیلومتر و تفکیک مکانی ۵×۲۰ متر و سطح ۱، با فرمت SAFE، از سایت مرکز علمی Hub سازمان فضایی اروپا<sup>۷</sup> دریافت و استفاده شد. تفکیک مکانی، در داده‌های راداری، در دو جهت آزیموت<sup>۸</sup> (جهت حرکت سکوی ماهواره) و دامنه<sup>۹</sup> تعریف می‌شود که، هرچه طول پالس کمتر باشد، امکان تفکیک دو عارضه همسایه بیشتر و قدرت تفکیک بهتر است. با اعمال سطح تصویحات ۱ روی داده‌های راداری، داده‌های خام طی فرایند پیش‌پردازش و عموماً به کمک مدل‌های برآش چندجمله‌ای در راستای آزیموت و دامنه متوجه می‌شود و در چند حالت خروجی به دست می‌آید.

در این تحقیق، از خروجی GRDH<sup>۱۰</sup>، با تفکیک مکانی ۱۰×۱۰ متر، استفاده شد که سایت ارائه‌دهنده تصاویر در اختیار قرار داده است.

1. European Space Agency (ESA)
2. Azimuth
3. Range
4. Ground Range Detection High Resolution
5. SAR (Synthetic Aperture Radar)
6. Dual polarization
7. Interferometric Wide Swath Mode
8. European Space Agency (ESA)

پیاده سازی شد. ابعاد قطعات نمونه مربعی، متناسب با تفکیک مکانی داده ماهواره ای مورد استفاده،  $30 \times 30$  متر (Amini and Sadeghi., 2013; Vafaei et al., 2017) به مرکزیت نقاط شبکه، انتخاب و به کمک دستگاه موقعیت یاب جهانی تفضیلی<sup>۴</sup> به روش تعیین موقعیت کینماتیک آنی<sup>۵</sup> روی زمین، در بازه زمانی ۲۰ تا ۲۰ خرداد ۱۳۹۶، پیاده سازی شدند. از مجموع ۵۶ قطعه نمونه در محدوده جنگل شاخه زاد، سه قطعه در اراضی کشاورزی و یا محدوده های غیر جنگل حذف و اندازه ابعاد تاج پوشش، قطر برابر سینه و ارتفاع تمامی درختان و درختچه های موجود در قطعه ۵۳ دیگر برداشت شد (شکل ۲). قابلیت نفوذ<sup>۶</sup> امواج راداری در باند C به درون و به سمت تنۀ درختان ضعیف بوده (Eini-Zinab et al., 2019) و بنابراین، در این تحقیق، مشخصه ابعاد تاج پوشش وارد روند برآورد زیست توده شده است. خلاصه مشخصات آماری ۵۳ قطعه نمونه اندازه گیری شده زمینی در جدول ۱ آمده است.

جهت آزمیوت<sup>۷</sup> (جهت حرکت سکوی ماهواره) و دامنه<sup>۸</sup> تعریف می شود که، هر چه طول پالس کمتر باشد، امکان تفکیک دو عارضه همسایه بیشتر و قدرت تفکیک بهتر است. با اعمال سطح تصحیحات ۱ روی داده های راداری، داده های خام طی فرایند پیش پردازش و معمولاً به کمک مدل های برآش چند جمله ای در راستای آزمیوت و دامنه مرکز می شود و در چند حالت خروجی به دست می آید. در این تحقیق، از خروجی GRDH<sup>۹</sup>، با تفکیک مکانی ۱۰×۱۰ متر، استفاده شد که سایت ارائه دهنده تصاویر در اختیار قرار داده است.

### ۳-۲- اندازه گیری های زمینی

جهت عمومی شبیب غالب منطقه مورد مطالعه شمالی-جنوبی است و بنابراین، به منظور برداشت اطلاعات میدانی، براساس تجربه و به نسبت مساحت منطقه تحقیق، ابتدا یک شبکه منظم تصادفی، به ابعاد ۳۹۰ متر در راستای محور عرض ها و ۳۰۰ متر در راستای محور طول ها، طراحی و روی نقشه منطقه مورد مطالعه



شکل ۲. استقرار گیرنده مبنای<sup>۱</sup> در نقطه مبنای ایستایی (الف)؛ اندازه گیری قطر برابر سینه درختان با خط کش دو بازو (ب)؛ گیرنده متحرک<sup>۱</sup> در مرکز قطعه نمونه و اندازه گیری ارتفاع تاج پوشش درختان داخل آن با دستگاه شبیب سنج سونتو (ج)

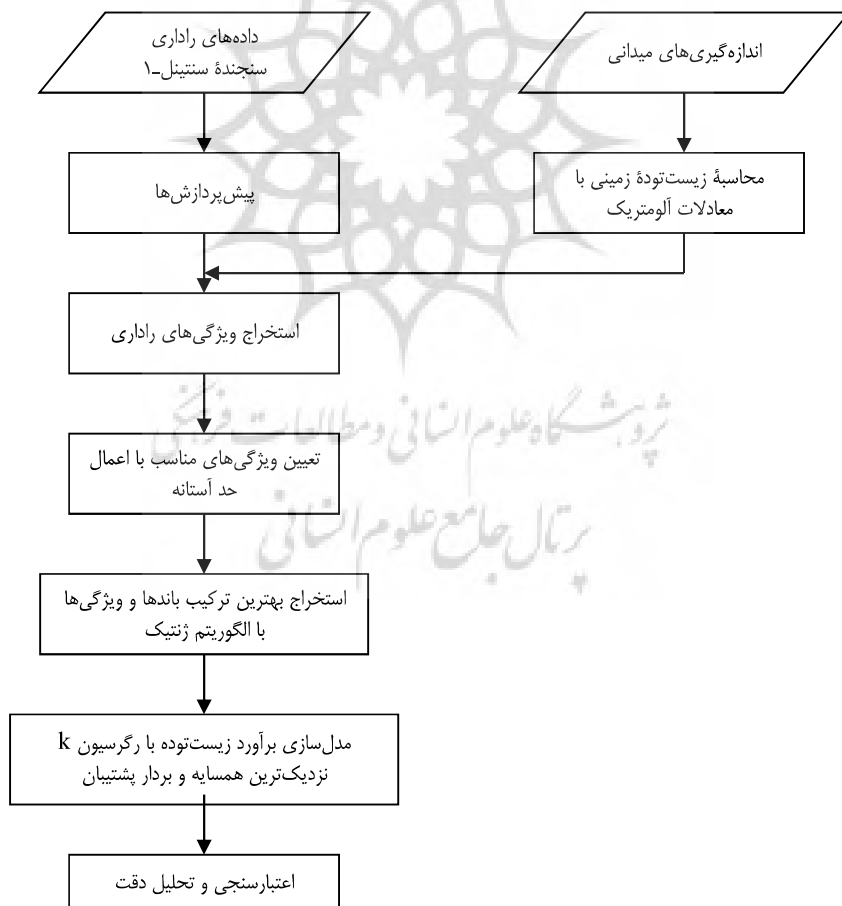
- 1. Azimuth
- 2. Range
- 3. Ground Range Detection High Resolution
- 4. Differential Global Positioning System (DGPS)
- 5. Real Time Kinematic (RTK)
- 6. Penetration

جدول ۱. خلاصه مشخصات آماری متغیر زیستتوده رویزمینی قطعات نمونه زمینی برداشت شده (واحد: کیلوگرم در سطح قطعه نمونه)

| نمونه | دامنه   | کمینه    | بیشینه   | میانگین | اشتباه    | انحراف      | واریانس |
|-------|---------|----------|----------|---------|-----------|-------------|---------|
|       | ۲۷۹.۲۱۰ | ۱۹۷۷.۳۹۰ | ۹۵۷.۱۵۷۵ | ۶۱.۸۲   | ۴۵۰.۱۰۴۴۵ | ۲۰۲۵۹۴.۰۶۳۴ |         |

## ۴-۲- روش تحقیق

- مرحله پنجم: انتخاب باندها و ویژگی‌های بهینه با استفاده از الگوریتم ژنتیک، به منظور مدل‌سازی برآورد زیستتوده
- مرحله ششم: برآورد زیستتوده با مجموعه ویژگی‌های بهینه و ارزیابی نتایج ارزیابی دقت برآورد زیستتوده به دست آمده، با استفاده از انواع ترکیب ویژگی‌های گوناگون و روش‌های رگرسیون.
- مرحله اول: محاسبه زیستتوده مرجع، با استفاده از اندازه‌گیری‌های زمینی
- مرحله دوم: پیش‌پردازش داده‌های راداری (تصحیح رادیومتری، هندسی و کاهش نویز)
- مرحله سوم: استخراج ویژگی‌های راداری
- مرحله چهارم: تعیین ویژگی‌های مناسب با اعمال حد آستانه



شکل ۳. فلوچارت روش تحقیق برای برآورد زیستتوده

زیست‌توده است، کاهش می‌دهد. به همین دلیل، کاهش این نویز یکی از مهم‌ترین اقدامات در سنجش از دور راداری محسوب می‌شود (Wang and Ge, 2012). در این تحقیق، از فیلتر Lee با ابعاد  $3 \times 3$  پیکسل استفاده شد.

**۳-۴-۲- ویژگی‌های حاصل از داده‌های راداری تصاویر راداری مورد استفاده در تحقیق حاضر در دو پلاریزاسیون VV و VH دریافت شده‌اند. علاوه‌بر ویژگی‌هایی که به طور مستقیم از این تصاویر استخراج می‌شوند، سایر ویژگی‌های متداول و مناسب با هدف تحقیق نیز از این تصاویر استخراج شدند که در جدول ۲ تعریف شده‌اند.**

**۴-۴-۲- تعیین ویژگی‌های مناسب ورودی الگوریتم ژنتیک با اعمال حد آستانه ضریب همبستگی به منظور مطابقت مکانی مرز قطعات نمونه با سیستم مختصاتی متریک و پیکسل‌های تصویر، با توجه به ماهیت تصاویر راداری،  $\Phi$  (عرض\_جغرافیایی) و  $\lambda$  (طول\_جغرافیایی) آنها در تصاویر راداری فراخوانی شد. با توجه به ابعاد هریک از قطعه نمونه‌های اندازه‌گیری شده میدانی  $0.09$  هکتار) و با درنظرگرفتن اینکه ابعاد پیکسلی ویژگی‌های راداری  $10$  متر است، داخل هریک از این قطعه نمونه‌ها، تعدادی پیکسل قرار می‌گیرد. به منظور داشتن مقداری واحد برای هر قطعه نمونه اندازه‌گیری شده، مقدار میانگین هریک از ویژگی‌های استخراج شده در داخل هر قطعه نمونه محاسبه و استفاده شد. با توجه به اینکه برای این قطعه نمونه‌ها مقادیر زیست‌توده مرجع نیز مشخص است، ضریب همبستگی ( $r$ ) بین ویژگی و زیست‌توده، به صورت خطی، برآورد شد. مطابق جدول ۲، پنجاه ویژگی از**

1. Speckle noise
2. Backscattering
3. Bilinear Interpolation
4. Digital Elevation Model(DEM)
5. Shuttle Radar Topography Mission
6. Resampling

#### ۱-۴-۲- محاسبه زیست‌توده مرجع

محاسبه زیست‌توده مرجع روی‌زمینی درختان مورد اندازه‌گیری از مدل به دست‌آمده برای فرم رویشی شاخه‌زاد گونه بلوط ایرانی، در تحقیق ایرانمنش و همکاران (۲۰۱۴)، طبق رابطه (۱) است.

$$Y = 2.534 \times X^{2.383} \quad (1)$$

$Y$  زیست‌توده درخت به کیلوگرم و  $X$  متغیر مستقل (قطر متوسط تاج‌پوشش) است. قطر متوسط تاج‌پوشش نیز از فرمول میانگین هندسی طبق رابطه (۲) محاسبه شد.

$$X = \sqrt{a \times b} \quad (2)$$

قطر اول و  $b$  قطر دوم تاج‌پوشش به متر است.

#### ۲-۴-۲- پیش‌پردازش داده‌ها

داده‌های مورد استفاده در سطح یک تصحیحات بودند که لازم بود عملیات تصحیح رادیومتری، هندسی و کاهش نویز اسپکل<sup>۱</sup> روی آنها اعمال شود. برای این منظور، ابتدا، با استفاده از کالیبراسیون اتمسفری استاندارد، داده‌های ماهواره سنتینل در هر دو پلاریزاسیون VV و VH به واحد نمایش شدت بازپردازش<sup>۲</sup> در بازه  $0 \text{--} 1$  تبدیل شد. با انجام دادن این عملیات، تأثیرات اتمسفر، به ویژه آثار لایه‌های بالایی اتمسفر روی امواج راداری، و نیز سایر عواملی که باعث تغییر انرژی الکترومغناطیسی راداری می‌شوند و نویزهایی که سنجنده ایجاد کرده است، تصحیح می‌شوند. در گام بعدی، داده‌ها با روش درون‌یابی دوخطی<sup>۳</sup> و به کمک مدل رقومی ارتفاعی<sup>۴</sup> حاصل از SRTM<sup>۵</sup>، تصحیح هندسی شدند و هم‌زمان، با WGS84 UTM Zone 38N و تفکیک مکانی  $10 \times 10$  متر، پروجکت شدند. در این مرحله، به منظور کاهش حجم داده و سرعت عمل در پردازش‌های بعدی، پرش مکانی در محدوده منطقه مورد مطالعه انجام شد.

نویز اسپکل<sup>۶</sup> پتانسیل تصاویر راداری را که از داده‌های مؤثر در کاربری‌های رایج تصاویر ماهواره‌ای مانند برآورد

جدول ۲. ویژگی‌های استخراج شده از تصویر راداری

| توضیحات   | ویژگی        |
|---|--------------|
| مقادیر شدت باند VH  | VH           |
| مقادیر شدت باند VV  | VV           |
| مقادیر میانگین شدت باند VH حاصل از یک کرنل $3 \times 3$   | Mean VH      |
| مقادیر میانگین شدت باند VV حاصل از یک کرنل $3 \times 3$   | Mean VV      |
| مقدار نسبت بین شدت دو باند VV به VH   | VV / VH      |
| مقدار نسبت بین شدت دو باند VH به VV   | VH / VV      |
| ویژگی‌های آماری (کنتراست، نداشتن شباهت، هموژن، گشتاور زاویه‌ای دوم، انحرافی، ماسکریم، آنتروپی، میانگین، واریانس) حاصل از ماتریس رخداد توان <sup>۱</sup> اعمال شده روی ویژگی Mean VV | Mean VV GLCM |
| ویژگی‌های آماری (کنتراست، نداشتن شباهت، هموژن، گشتاور زاویه‌ای دوم، انحرافی، ماسکریم، آنتروپی، میانگین، واریانس و کورلیشن) حاصل از ماتریس رخداد توان اعمال شده روی ویژگی Mean VH    | Mean VH GLCM |
| اعمال الگوریتم تحلیل مؤلفه اصلی <sup>۱</sup> روی ۲۵ ویژگی تعریف شده در بالا   | PCA          |

منبع: Chen et al., 2018; Laurin et al., 2018

داده‌های راداری استخراج شد که دامنه ضربی Namiranian, 2010; Santi et al., 2017 با مقادیر زیست‌توده باشند (). اما چون تعداد ویژگی‌های راداری با همبستگی بیش از ۰.۲۸ در این تحقیق کم بود و امکان اجرای الگوریتم ژنتیک نبود، پس از سعی و خطا در به کارگیری ویژگی‌های با اندازه‌های متفاوت همبستگی، از ویژگی‌های دارای همبستگی بیش از ۰.۲ به منزله ورودی الگوریتم ژنتیک استفاده شد (جدول ۳).

داده‌های راداری استخراج شد که دامنه ضربی همبستگی بین ویژگی و زیست‌توده در آنها از ۰.۰۸ تا ۰.۳۵ بود. برای تعیین ویژگی‌های بهینه با استفاده از الگوریتم ژنتیک در این تحقیق، براساس بررسی جدول آزمون  $t$  برای درجه آزادی ۵۱، سعی شد از ویژگی‌هایی استفاده شود که دارای ضربی همبستگی بیش از حداقل سطح معنی‌داری در سطح ۰.۰۵ در جدول (۰.۲۸).

جدول ۳. میزان همبستگی بین ویژگی‌های حاصل از داده‌های راداری و زیست‌توده انتخاب شده برای ورود به فرایند الگوریتم ژنتیک

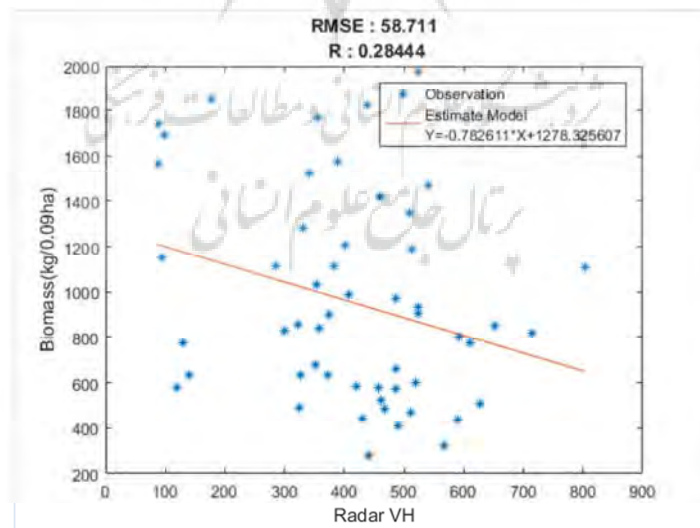
| ویژگی                        | همبستگی |
|------------------------------|---------|
| VH                           | ۰.۲۸    |
| Mean VV                      | ۰.۳۱    |
| Mean VV GLCM (Correlation)   | ۰.۳۵    |
| Mean VH GLCM (Dissimilarity) | ۰.۲۶    |
| VV                           | ۰.۲۹    |
| VV/VH                        | ۰.۲۹    |
| VH/VV                        | ۰.۳۰    |
| Mean VV GLCM (Mean)          | ۰.۲۹    |
| Mean VV GLCM (Variance)      | ۰.۲۷    |
| Mean VH GLCM (Homogeneity)   | ۰.۲۶    |
| Mean VH GLCM (ASM)           | ۰.۲۸    |
| Mean VH GLCM (Energy)        | ۰.۳۰    |
| Mean VH GLCM (MAX)           | ۰.۲۹    |
| Mean VH GLCM (Entropy)       | ۰.۲۴    |
| Mean VH GLCM (Mean)          | ۰.۲۶    |
| Mean VH GLCM (Variance)      | ۰.۲۶    |
| PCA1                         | ۰.۲۸    |
| PCA8                         | ۰.۲۲    |
| PCA11                        | ۰.۲۶    |

و بقیه، با استفاده از اپراتورهای ژنتیکی همچون تقاطع و جهش، برای تولید فرزندان (ویژگی جدید) به کار می‌رond. به طور کلی، الگوریتم ژنتیک پنج ویژگی مهم دارد: ۱- تابع تناسب: تابعی برای ارزیابی یک فرضیه که مقداری عددی به هر فرضیه نسبت می‌دهد؛ ۲- حد آستانه تابع هزینه: مقدار آستانه که شرط پایان را معین می‌کند؛ ۳- تعداد فرضیه: تعداد فرضیه‌هایی که باید در جمعیت در نظر گرفته شوند؛ ۴- درصد تقاطع: درصدی از جمعیت که در هر مرحله، با استفاده از الگوریتم تقاطع، جایگزین می‌شوند؛ ۵- نرخ جهش: ویژگی‌ای که احتمال اعمال جهش را مشخص می‌کند (Vose, 1999). در این تحقیق، فضای جستجو همان ویژگی‌های حاصل از داده‌های راداری است که، در مرحله انتخاب مناسب‌ترین ویژگی‌ها، شناسایی شده‌اند. تابع تناسب با دو روش رگرسیون K نزدیک‌ترین همسایه و رگرسیون بردار پشتیبان تعریف می‌شود. مقادیر درصد تقاطع و نرخ جهش تعریف شده نیز، به ترتیب، ۰.۳ و ۰.۵٪ در نظر گرفته شدند. همچنین شرط اتمام الگوریتم ژنتیک هم به صورت تعداد تکرار لحاظ می‌شود که، در تحقیق حاضر، تعداد آن ۱۰ است.

به منظور ایجاد امکان ارزیابی بصری از رفتار ویژگی‌های استخراج شده از داده‌ها و مقادیر زیست توده، رفتار ویژگی VH با زیست توده، به صورت نمونه، در قالب نمودار شکل ۴ آورده شده است. مشاهده می‌شود که، در طول موجی معین، مقادیر متنوعی از اندازه‌های زیست توده واقع شده است که این پدیده همان اثر اشباع شدگی در این داده‌ها را نشان می‌دهد.

#### ۴-۵-۴-۲- کاربرد الگوریتم ژنتیک به منظور بهینه‌سازی ویژگی‌ها

الگوریتم ژنتیک در مسائلی با فضای جستجوی بزرگ و با فضای فرضیه پیچیده به کار می‌رود. روش متسداول اجرای الگوریتم ژنتیک به این ترتیب است که مجموعه‌ای از فرضیه‌ها، با نام جمعیت<sup>۱</sup>، تولید و به طور متنابه، با فرضیه‌های جدیدی جایگزین می‌شود. در هر بار تکرار، با استفاده از یک تابع تناسب، تمامی فرضیه‌ها ارزیابی می‌شوند. آنگاه تعدادی از بهترین فرضیه‌ها، با استفاده از یک تابع احتمال، انتخاب می‌شوند و جمعیت جدید را تشکیل می‌دهند. تعدادی از این فرضیه‌های انتخاب شده به همان صورت استفاده می‌شوند



شکل ۴. رفتار ویژگی VH حاصل از داده‌های راداری با مقادیر زیست توده

1. Population

آموزشی برای ساخت مدل آموزشی و ۵۰٪ باقیمانده نیز بهمنزله داده تست در مدل‌سازی برآورد زیست‌توده و اعتبارسنجی مدل‌های رگرسیونی به کار گرفته شده‌اند. اعتبارسنجی مدل‌ها به روش اعتبارسنجی تقاطعی<sup>۳</sup> با استفاده از ۲۶ قطعه نمونه تست، که در ساخت مدل آموزشی مشارکت نداشتند، و ارزیابی اندازه پارامترهای آماری محدود میانگین مریع خط، محدود میانگین مریع خطای نسی و ضریب تعیین انجام شد. در این روش اعتبارسنجی، مدلی دارای کارآیی بیشتری است که کمترین برآورد خط و بالاترین ضریب تعیین را داشته باشد.

### ۳- نتایج

بررسی ویژگی‌های مندرج در جدول ۳ نشان می‌دهد که مقادیر پایین همبستگی بیانگر قابلیت اندک ویژگی‌های راداری استخراج شده از تصویر ماهواره سنتیل-۱ در برآورد زیست‌توده جنگل‌های شاخه‌زاد بلوط زاگرس است. در مواردی که میزان همبستگی مشیت است، یعنی تغییرات ویژگی موردنظر با میزان زیست‌توده در یک جهت قرار دارد و در مواردی که میزان همبستگی منفی است (شکل ۳)، یعنی تغییرات ویژگی و زیست‌توده در خلاف جهت هم‌اند.

از مجموع پنجاه ویژگی استخراج شده، نوزده ویژگی دارای ضریب همبستگی بیش از ۰.۲، بهمنزله ویژگی‌های ورودی، در فرایند الگوریتم ژنتیک تجزیه و تحلیل شدند Mean VV که ویژگی Correlation حاصل از ویژگی Mean GLCM، Mean VH/VV و ویژگی‌های آماری انرژی و ماکریتم حاصل از ویژگی Mean VH GLCM، به ترتیب، بیشترین میزان همبستگی را با مقادیر زیست‌توده جنگل شاخه‌زاد مورد مطالعه داشتند و بهمنزله ویژگی‌های بهینه انتخاب شدند.

### ۴-۱-۵-۴-۲- روش‌های رگرسیون مورد استفاده در مدل‌سازی برآورد زیست‌توده

- رگرسیون K نزدیک‌ترین همسایه: یکی از ده الگوریتم پرکاربرد داده‌کاوی است که هدف کلی آن طبقه‌بندی و تخمین ویژگی‌های مجموعه‌ای از داده‌های مجھول بر مبنای بیشترین شباهت این داده‌ها با داده‌های معلوم است که در همسایگی آنها قرار دارند (Souza et al., 2019). از معایب این روش، می‌توان به تعیین مقدار مناسب K و پیچیدگی زمانی محاسباتی آن اشاره کرد. به‌طور خلاصه، مراحل انجام‌شدن الگوریتم K نزدیک‌ترین همسایه بدین ترتیب است: ۱- انتخاب مقدار K بهینه؛ ۲- به دست آوردن فواصل، براساس مجموعه داده ورودی؛ ۳- تشکیل K کلاس بر حسب نزدیک‌ترین فاصله (بیشترین شباهت) و سپس، محاسبه فاصله رکورد جدید از تمامی رکوردهای آموزشی؛ ۴- انتخاب نزدیک‌ترین همسایه؛ ۵- استفاده از برچسب دسته K نزدیک‌ترین همسایه برای پیش‌بینی دسته رکورد جدید (Shataee et al., 2012).

- رگرسیون بردار پشتیبان: ماشین بردار پشتیبان نوعی ماشین یادگیری است که، به منظور رسیدن به یک تابع برآش بینه، اصل کمینه‌سازی تابع ساختاری ریسک<sup>۱</sup> را روی مجموعه داده‌های آموزشی محدود اجرا می‌کند. رگرسیون بردار پشتیبان نوعی رگرسیون غیرخطی و غیرپارامتریک به حساب می‌آید که از فضای ویژگی با ابعاد بالا استفاده می‌کند (Smola & Schölkopf, 2004). در این تحقیق، از تابع کرنل پایه شعاعی<sup>۲</sup> برای آموزش مدل استفاده شده است. علاوه بر این، ویژگی‌های روش رگرسیون بردار پشتیبان، مانند ویژگی هزینه و ویژگی تابع کرنل، با استفاده از تکنیک بهینه‌سازی پارامتری K-fold برآورد و تنظیم شده است.

### ۴-۲-۵-۴-۲- اعتبارسنجی مدل‌های برآورد زیست‌توده ۰٪ داده‌های زمینی، به‌طور تصادفی، به صورت داده

1. Structural Risk Minimization
2. Radial Basis Function (RBF)
3. Cross validation

در صورتی که ملاک برتری روش‌ها را حالت استفاده از داده‌های تست بدانیم، در حالت استفاده از روش K نزدیک‌ترین همسایه، میزان مجذور میانگین مربع خطای ۱ تن در هکتار (معادل ۱۰٪) است که، در مقایسه با روش بردار پشتیبان با میزان مجذور میانگین مربع خطای ۸۷٪ ۰ تن در هکتار (معادل ۸٪)، دقت پایین‌تری دارد. ضریب تعیین در روش K نزدیک‌ترین همسایه معادل ۰۲۳٪ بهتر از روش بردار پشتیبان با اندازه ۰۱۴٪ است. مدل‌های نهایی برآورد زیست‌توده، با استفاده از ترکیب‌های ویژگی‌های بهینه انتخاب شده و پس از اعتبارسنجی هنگام استفاده از رگرسیون K نزدیک‌ترین همسایه در محل قطعات آموزشی، اندازه زیست‌توده را با مجذور میانگین مربع خطای ۱۰۰٪ تن در هکتار (معادل ۹٪) و ضریب تعیین ۰۳۸٪ و در محل قطعات تست، ۹۹٪ تن در هکتار (معادل ۱۰٪) و ضریب تعیین ۰۲۳٪ و در حالت استفاده از روش رگرسیون بردار پشتیبان، به ترتیب، ۹۹٪ تن در هکتار (۹٪)، ۰۲۲٪ و ۰۸٪ تن در هکتار (۸٪) و ۱۴٪ برآورد کرده است.

مطابق با تمامی شرایط و مقادیر پارامترهایی که در بخش ۳-۴-۲ تا ۵-۴-۲ بیان شد، با به کارگیری بهترین ترکیب ویژگی‌های راداری حاصل از الگوریتم ژنتیک، بهترین نتایج برآورد زیست‌توده جنگل شاخه‌زاد مورد مطالعه با دو روش رگرسیونی K نزدیک‌ترین همسایه و رگرسیون بردار پشتیبان، طبق شرح جدول‌های ۴ و ۵ به دست آمد. در این تحقیق، به منظور تعیین صحت، از پارامترهای آماری مجذور میانگین مربع خطای ، مجذور میانگین مربع خطای نسبی و ضریب تعیین استفاده شده است.

شکل ۵، با استفاده از روش‌های رگرسیون K نزدیک‌ترین همسایه و رگرسیون بردار پشتیبان، میزان زیست‌توده مشاهده‌ای و برآورده را برای داده‌های آموزشی و تست مقایسه می‌کند.

بررسی جدول‌های ۴ و ۵ و شکل ۵ نشان می‌دهد که، در حالت استفاده از روش‌های رگرسیونی K نزدیک‌ترین همسایه و بردار پشتیبان، نتایج دو داده آموزش و تست تقریباً به هم نزدیک است و حتی برتری‌ای نسبی در مورد داده‌های تست نیز دیده می‌شود.

**جدول ۴.** RMSE و ZRMSE نسبی برآورد زیست‌توده، با استفاده از روش رگرسیون K نزدیک‌ترین همسایه، و ضریب تعیین بین زیست‌توده

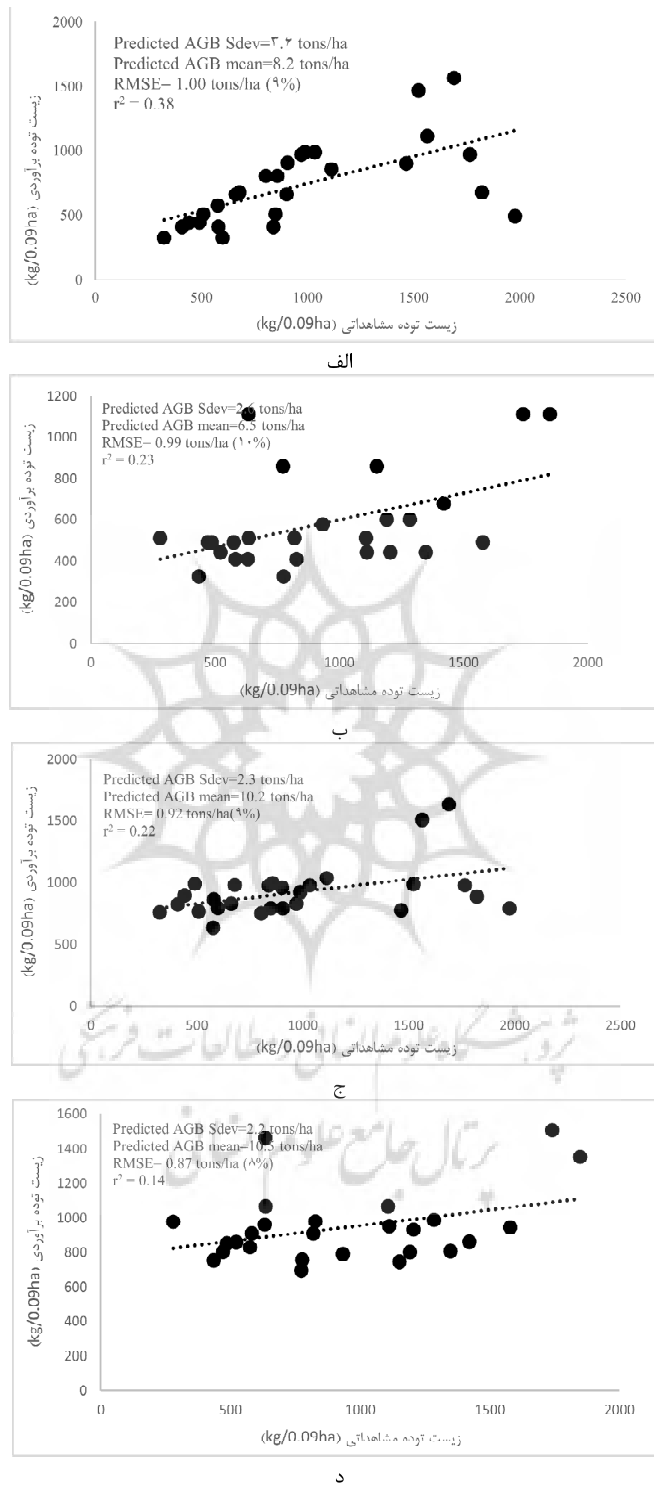
مشاهده‌ای و زیست‌توده برآورده، با استفاده از ویژگی‌های راداری حاصل از تصویر سنتیل-۱، برای جنگل شاخه‌زاد مورد مطالعه

| داده آموزشی |  |                          |                          |        |        | ویژگی‌ها |     |
|-------------|--|--------------------------|--------------------------|--------|--------|----------|-----|
| تعداد       | ویژگی                                  | ضریب تعیین (تن در هکتار) | ضریب تعیین (تن در هکتار) | نمی‌سی | نمی‌سی |          |     |
| ۲           | Mean VV,<br>Mean VV GLCM (Correlation) | ۰۳۸                      | ۱۰۰٪                     | ۰۰۹    | ۰۲۳    | ۰۹۹      | ۰۱۰ |

**جدول ۵.** RMSE و ZRMSE نسبی برآورد زیست‌توده، با استفاده از روش رگرسیون بردار پشتیبان، و ضریب تعیین بین زیست‌توده

مشاهده‌ای و زیست‌توده برآورده، با استفاده از ویژگی‌های راداری حاصل از تصویر سنتیل-۱، برای جنگل شاخه‌زاد مورد مطالعه

| داده آموزشی |  |                          |                          |        |        | ویژگی‌ها |     |
|-------------|--|--------------------------|--------------------------|--------|--------|----------|-----|
| تعداد       | ویژگی                                      | ضریب تعیین (تن در هکتار) | ضریب تعیین (تن در هکتار) | نمی‌سی | نمی‌سی |          |     |
| ۳           | VH, Mean VV,<br>Mean VV GLCM (Correlation) | ۰۲۲                      | ۰۹۲                      | ۰۰۹    | ۰۱۴    | ۰۸۷      | ۰۰۸ |



شکل ۵. مقایسه بین مقادیر زیستتوده مشاهدهای و مقادیر زیستتوده برآورده، با استفاده از روش K نزدیکترین همسایه برای دادهای آموزشی (الف)؛ روش رگرسیون K نزدیکترین همسایه برای دادهای تست (ب)؛ روش رگرسیون بردار پشتیبان برای دادهای آموزشی (ج)؛ روش رگرسیون بردار پشتیبان برای دادهای تست (د)

#### ۴- بحث و نتیجه‌گیری

است که عملکرد درست الگوریتم ژنتیک را در انتخاب بهترین ترکیب باندی برای هدف تحقیق، نشان می‌دهد. ارزیابی نتایج اعتبارسنجی مدل‌ها به کمک پارامترهای آماری محدود میانگین مریع خطا، محدود میانگین مریع خطای نسبی و ضریب تعیین نشان داد کارآیی این دو مدل، در برآورده زیست‌توده جنگل مورد مطالعه، در محل قطعات نمونه، بهتر از دیگر مدل‌ها بوده است. هرچند مطابق نتایج مندرج در جدول‌های ۴ و ۵، به طور کلی، می‌توان گفت که روش رگرسیون بردار پشتیبان عملکردی بهتر از روش رگرسیون K نزدیک‌ترین همسایه در برآورده زیست‌توده داشته است؛ بهدلیل نزدیکی نتایج در هر دو روش، با قطعیت نمی‌توان بر این ادعا تأکید کرد. نزدیکی نسبی آماره‌های تعیین صحت در هر دو روش رگرسیونی، در داده‌های آموزشی و تست، بیانگر بهینه‌بودن مدل برآورده ایجادشده است. میزان ضریب تعیین ۰.۲۳ و ۰.۱۴، در استفاده از دو روش رگرسیونی بررسی شده در این تحقیق، حداقل توانی بوده است که داده‌های راداری ماهواره‌ستینل-۱ در برآورده زیست‌توده روی‌زمینی، در جنگل‌های شاخه‌زاد بلوط منطقه مورد مطالعه، از خود نشان داده‌اند. تنوع در تراکم تاج‌پوشش و پراکندگی مکانی درختان جنگل، توان تفکیک پایین تصویر راداری مورد استفاده، پدیده اشباع‌شدگی در داده‌های راداری و کوچک‌بودن اندازه قطعات نمونه اندازه‌گیری شده زمینی را می‌توان از مهم‌ترین دلایل این امر به حساب آورد. در مطالعات پیشین درمورد جنگل‌های مدیترانه‌ای که مشابهت بسیاری با جنگل‌های زاگرس در ایران دارند (Marvie Mohajer, 2006)، قابلیت داده‌های راداری در طول موج باند C، برای مناطقی با زیست‌توده بالاتر از ۴۰۰ تن در هکتار مناسب ارزیابی شده (Laurin et al., 2018) و توان این داده‌ها در طول موج باند L، برای برآورده زیست‌توده روی‌زمینی Behera et al., 2016) دیده شده است (Deng et al., 2014). با این حال، برای منطقه مورد مطالعه در این تحقیق با میانگین زیست‌توده ۱۰.۶۳٪ احتمال در جدول آزمون ۲ در آنها نیز مورد تأیید

در تحقیقات پیشین، مشخص شده است که دلیل بروز خطا در برآورده زیست‌توده روی‌زمینی جنگل با استفاده از داده‌های سنجش از دوری، علاوه بر وجود اشتباهاتی در اندازه‌گیری‌های میدانی، ناهمزنی دریافت داده ماهواره‌ای و برداشت اطلاعات میدانی، استفاده از معادله‌های آلومتریک جهانی برای مناطق محلی، به حد اشباع رسیدن سریع داده‌های مورد استفاده و نیز، استفاده از مدل‌های برآورده نامناسب بوده است. در این مطالعه سعی شد، با بهداشت رساندن این منابع خطا، قابلیت داده‌های سنجش از دور را در این ماهواره سنتینل-۱ در برآورده زیست‌توده روی‌زمینی بخشی از جنگل‌های شاخه‌زاد بلوط زاگرس در استان ایلام ارزیابی شود. بررسی مشخصه‌های آماری متغیر زیست‌توده در قطعات نمونه زمینی (جدول ۱) نشان می‌دهد که پراکندگی داده‌ها در قیاس میانگین زیاد است و سطح تاج‌پوشش جنگل ساختاری ناهمگن دارد. پس از بررسی رابطه همبستگی بی‌بررسون بین زیست‌توده مشاهده‌ای و میانگین ارزش پیکسل‌های تصویر (Santi et al., 2017) در محل قطعات نمونه برای همه ویژگی‌های استخراج شده، نوزده ویژگی با ضریب همبستگی بالاتر از ۰.۲۰، در فرایند انتخاب ویژگی‌های بهینه، با استفاده از الگوریتم بهینه‌یاب ژنتیک وارد شد. از بین ترکیب ویژگی‌های مورد بررسی با روش‌های متفاوت رگرسیونی پارامتری و غیرپارامتری برآورده زیست‌توده، هنگام استفاده از روش رگرسیون K نزدیک‌ترین همسایه، ترکیب ویژگی  $\{Mean\_{VV}, Mean\_{VV, GLCM}\}$  (Correlation)، هنگام استفاده از روش رگرسیون بردار پشتیبان، ترکیب ویژگی  $\{VH, Mean\_{VV}, Mean\_{VV, GLCM}\}$  (Correlation)، با سه ویژگی، بهترین عملکرد را داشتند. همبستگی داده‌های راداری و زیست‌توده، در این پنج ویژگی، بالاتر از ۰.۲۸ بود و سطح معنی‌داری حداقل میزان همبستگی برای درجه آزادی ۵۱ و سطح احتمال ۹۵٪ در جدول آزمون ۲ در آنها نیز مورد تأیید

- Zagros Forests Decline in Lorestan Province**, Iranian Journal of Forest and Range Protection Research, 13(2).
- Baghdadi, N., Le Maire, G., Bailly, J.S., Osé, K., Nouvellon, Y., Zribi, M., Lemos, C. & Hakamada, R., 2014, **Evaluation of ALOS/PALSAR L-Band Data for the Estimation of Eucalyptus Plantations Above-Ground Biomass in Brazil**, IEEE Journal of Selected Topics in Applied Earth Observations and Remote Sensing, 8(8), PP. 3802-3811.
- Behera, M.D., Tripathi, P., Mishra, B., Kumar, S., Chitale, V.S. & Behera, S.K., 2016, **Above-Ground Biomass and Carbon Estimates of Shorea Robusta and Tectona Grandis Forests Using QuadPOL ALOS PALSAR Data**, Advances in Space Research, 57(2), PP. 552-561.
- Burrows, W.H., Hoffmann, M.B., Compton, J.F., Back, P.V. & Tait, L.J., 2000, **Allometric Relationships and Community Biomass Estimates for Some Dominant Eucalypts in Central Queensland Woodlands**, Australian Journal of Botany, 48(6), PP. 707-714.
- Chang, J. & Shoshany, M., 2016, **Mediterranean Shrublands Biomass Estimation Using Sentinel-1 and Sentinel-2**, In 2016 IEEE International Geoscience and Remote Sensing Symposium (IGARSS) (PP. 5300-5303), IEEE.
- Charlton, M.H., Docherty, R. & Hutchings, M.G., 1995, **Quantitative Structure-Sublimation Enthalpy Relationship Studied by Neural Networks, Theoretical Crystal Packing Calculations and Multilinear Regression Analysis**, Journal of the Chemical Society, Perkin Transactions 2, (11), PP. 2023-2030.

تن در هکتار، نتایج به دست آمده از کاربرد داده راداری در طول موج باند C و روش‌های به کار رفته به تنهایی نتوانسته اثر اشباع شدگی داده در برآورد زیست‌توده در جنگل‌های شاخه‌زاد مورد نظر را بهبود دهد و منجر به شناسایی یک مدل برآورده کننده، با صحت قابل قبول، نشده است. از این‌رو، نمی‌توان نتایج این پژوهش را با نتایج پژوهش‌های دیگر مقایسه کرد. بر این اساس، به نظر می‌رسد، با بهبود کمی و کیفی این جنگل‌ها و افزایش موجودی سرپایی جنگل، نتایج به دست آمده با داده‌ها و روش‌های مدل‌سازی بررسی شده در این تحقیق نیز بهبود یابند. پیشنهاد می‌شود، همچنان که در تحقیق چانگ و شوشانی (۲۰۱۶) تأثیر مثبت استفاده همزمان از داده‌های نوری و راداری ماهواره سنتینل در برآورد زیست‌توده جنگل‌های مدیترانه‌ای نمایان شده است، این تأثیر در ادامه این تحقیق نیز، در مورد این منطقه، ارزیابی شود.

#### - منابع

- Amini, J. & Sadeghi, Y., 2013, **Optical and Radar Images in Modeling the Forests Biomass in North of Iran**.
- Amini, J. & Sumantyo, J.T.S., 2009, **Employing a Method on SAR and Optical Images for Forest Biomass Estimation**, IEEE Transactions on Geoscience and Remote Sensing, 47(12), PP. 4020-4026.
- Attarchi, S. & Gloaguen, R., 2014, **Improving the Estimation of Above-Ground Biomass Using Dual Polarimetric PALSAR and ETM+ Data in the Hyrcanian Mountain Forest (Iran)**, Remote Sensing, 6(5), PP. 3693-3715.
- Attarod, P., Sadeghi, S.M.M., Sarteshnizi, F.T., Saroei, S., Abbasian, P., Masihpoor, M., Kordrostami, F. & Dirikvandi, A., 2016, **Meteorological Parameters and Evapotranspiration Affecting the**

- Chen, L., Ren, C., Zhang, B., Wang, Z. & Xi, Y., 2018, **Estimation of Forest Above-Ground Biomass by Geographically Weighted Regression and Machine Learning with Sentinel imagery**, *Forests*, 9(10), P. 582.
- Deng, S., Katoh, M., Guan, Q., Yin, N. & Li, M., 2014, **Estimating Forest Above-Ground Biomass by Combining ALOS PALSAR and WorldView-2 Data: A Case Study at Purple Mountain National Park, Nanjing, China**, *Remote Sensing*, 6(9), PP. 7878-7910.
- Eini-Zinab, S., Maghsoudi, Y. & Sayedain, S.A., 2019, **Assessing the Performance of Indicators Resulting from Three-Component Freeman–Durden Polarimetric SAR Interferometry Decomposition at P-and L-band in Estimating Tropical Forest Above-Ground Biomass**, *International Journal of Remote Sensing*, 41(2), PP. 433-454.
- Galidaki, G., Zianis, D., Gitas, I., Radoglou, K., Karathanassi, V., Tsakiri-Strati, M., Woodhouse, I. & Mallinis, G., 2017, **Vegetation Biomass Estimation with Remote Sensing: Focus on Forest and Other Wooded Land over the Mediterranean Ecosystem**, *International Journal of Remote Sensing*, 38(7), PP. 1940-1966.
- Ghasemi, N., Sahebi, M.R. & Mohammadzadeh, A., 2012, **Biomass Estimation of a Temperate Deciduous Forest Using Wavelet Analysis**, *IEEE Transactions on Geoscience and Remote Sensing*, 51(2), PP. 765-776.
- Haddadi G., A., Sahebi, M.R. & Mansourian, A., 2011, **Polarimetric SAR Feature Selection Using a Genetic Algorithm**, *Canadian Journal of Remote Sensing*, 37(1), PP. 27-36.
- Heydari, M., Pourbabaei, H. & Esmailzadeh, O., 2015, **The Effects of Habitat Characteristics and Human Destinations on Understory Plant Species Biodiversity and Soil in Zagros Forest Ecosystem**, *Iranian Journal of Biology*, 28(3), PP. 535-548.
- Iranmanesh, Y., Talebi, K.S., Sohrabi, H., Jalali, S.G. & Hosseini, S.M., 2014, **Biomass and Carbon Stocks of Brant's Oak (*Quercus Brantii* Lindl.) in Two Vegetation Forms in Lordegan, Chaharmahal & Bakhtiari Forests**, *Iranian Journal of Forest and Poplar Research*, 22(4).
- Laurin, G.V., Balling, J., Corona, P., Mattioli, W., Papale, D., Puletti, N., Rizzo, M., Truckenbrodt, J. & Urban, M., 2018, **Above-Ground Biomass Prediction by Sentinel-1 Multi-temporal Data in Central Italy with Integration of ALOS2 and Sentinel-2 Data**, *Journal of Applied Remote Sensing*, 12(1), P. 016008.
- Marvie Mohajer M.R., 2006, **Silviculture**, Tehran, University of Tehran: 404.
- Namiranian, M., 2010, **Measurment of the Tree and Forest Biometry**, University of Tehran press.
- Nichol, J.E. & Sarker, M.L.R., 2010, **Improved Biomass Estimation Using the Texture Parameters of Two High-Resolution Optical Sensors**, *IEEE Transactions on Geoscience and Remote Sensing*, 49(3), PP. 930-948.
- Ramezani, M.R. & Sahebi, M.R., 2015, **Forest Biomass Estimation Using SAR and Optical Images**, *Journal of Geospatial Information Technology*, 3(1), PP. 15-26.
- Ronoud, G. & Darvishsefat, A.A., 2016, **Estimating Above-Ground Woody Biomass of *Fagus Orientalis* Stands in**

- Hyrcanian Forest of Iran Using Landsat 8 Satellite Data (Case Study: Khyroud Forest)**, A thesis of Master Student in Forest Science, University of Tehran.
- Santi, E., Paloscia, S., Pettinato, S., Fontanelli, G., Mura, M., Zolli, C., Maselli, F., Chiesi, M., Bottai, L. & Chirici, G., 2017, **The Potential of Multifrequency SAR Images for Estimating Forest Biomass in Mediterranean Areas**, Remote Sensing of Environment, 200, PP. 63-73.
- Shataee, S., Kalbi, S., Fallah, A. & Pelz, D., 2012, **Forest Attribute Imputation Using Machine-Learning Methods and ASTER Data: Comparison of k-NN, SVR and Random Forest Regression Algorithms**, International Journal of Remote Sensing, 33(19), PP. 6254-6280.
- Smola, A.J. & Schölkopf, B., 2004, **A Tutorial on Support Vector Regression**, Statistics and Computing, 14(3), PP. 199-222.
- Sohrabi, H. & Shirvani, A., 2012, **Allometric Equations for Estimating Standing Biomass of Atlantic Pistache (Pistacia Atlantica Var. Mutica) in Khojir National Park**, Iranian Journal of Forest, 4(1), PP. 55-64.
- Souza, D.V., Nievola, J.C., Santos, J.X., Wojciechowski, J., Gonçalves, A.L., Corte, A.P.D. & Sanquetta, C.R., 2019, **k-Nearest Neighbor Regression in the Estimation of Tectona G Randis Trunk Volume in the State of Pará, Brazil**, Journal of Sustainable Forestry, 38(8), PP. 755-768.
- Sukawattanavijit, C., Chen, J. & Zhang, H., 2017, **GA-SVM Algorithm for Improving Land-Cover Classification Using SAR and Optical Remote Sensing Data**, IEEE Geoscience and Remote Sensing Letters, 14(3), PP. 284-288.
- Vafaei, S., Soosani, J., Adeli, K., Fadaei, H. & Naghavi, H., 2017, **Estimation of Above-Ground Biomass Using Optical and Radar Images (Case Study: Nav-e Asalem Forests, Gilan)**, Iranian Journal of Forest and Poplar Research, 25(2).
- Vose, M.D., 1999, **The Simple Genetic Algorithm: Foundations and Theory**, Vol. 12, MIT press.
- Wang, X. & Ge, L., 2012, **Evaluation of Filters for ENVISAT ASAR Speckle Suppression in Pasture Area**.
- West, P.W. & West, P.W., 2009, **Tree and Forest Measurement**, Heidelberg: Springer.
- Wu, X. & Kumar, V. (eds.), 2009, **The Top Ten Algorithms in Data Mining**, CRC press.
- Yadav, B.K. and Nandy, S., 2015. Mapping aboveground woody biomass using forest inventory, remote sensing and geostatistical techniques. Environmental monitoring and assessment, 187(5), p.308.



سنجش از دور

، GIS ایران

سنجش از دور و GIS ایران سال دوازدهم، شماره چهارم، زمستان ۱۳۹۹  
Vol.12, No. 4, Winter 2021 Iranian Remote Sensing & GIS

35-52



## Modeling the Above-Ground Biomass Estimation in Zagros Oak Coppice Forests Using Radar Data of Sentinel-1 Satellite

Saroei S.<sup>1\*</sup>, Darvishsefat A.A.<sup>2</sup>, Namiranian M.<sup>3</sup>

1. Ph.D. Student, Faculty of Natural Resources, University of Tehran, Karaj

2. Prof. of Faculty of Natural Resources, University of Tehran, Karaj

3. Prof. of Faculty of Natural Resources, University of Tehran, Karaj

### Abstract

Estimating the biomass values in forests stands through remote sensing is important. It has been reported that the major reasons of uncertainty are the lack of concurrency in satellite data and field information as well as the use of global allometric equations for estimating the weight of biomass of forest trees inside the country. Minimizing the above problems and the investigation of data performance in developing appropriate model for estimating the forest biomass in the Bankoll region of Karazan District of Sirvan County in Ilam province using Sentinel-1 satellite data in 27<sup>th</sup> of June, 2017 was the main goal of this study. Average size of the trees crown in 53 rectangular plots related to the coppice growth form with dimensions of 30×30 m which during 23 may 2017 to 10 June 2017 through applying DGPS by RTK method have been implemented on the ground were entered in the process of estimation the value of biomass. The average harvested field biomass was 10.63 Mg ha<sup>-1</sup>. After extraction of radar features, those features which had the greatest correlation with the values of biomass were selected using genetic algorithm by two models including K-Nearest Neighbor (K-NN) regression and Support-Vector Regression (SVR), then the most appropriate combination was identified and the biomass values were modelled. Models were validated using 26 test plots. Correlation of features obtained from radar data and the value of biomass indicated that features of VH ,Mean VV ,Mean VV GLCM (Correlation) and Mean VH GLCM (Dissimilarity) had the greatest sensitivity towards the value of biomass. Using regression models indicated that SVR model (Relative RMSE of 0.08) was more precise compared with K-NN regression (relative RMSE of 0.10). The best combination in the use of K-NN regression model with a relative RMSE of almost 0.99 Mg ha<sup>-1</sup> (equal to 10%) and the coefficient of determination ( $R^2$ ) of 0.22 and the best combination when using SVR model was a relative RMSE of 0.87 Mg ha<sup>-1</sup> (equal to 8%) and the  $R^2$  of 0.14. The results indicated that the final models, obtained from the optimal features extracted from radar data in the wavelength of C band and used parametric and non-parametric regressional methods in this research, were not able to improve the saturated effect in data for estimation of biomass in the studied forests and it was not resulted in presenting an estimating model with an acceptable accuracy.

**Keywords:** Forest biomass, Sentinel-1 radar data, Genetic Algorithm (GA), K-Nearest Neighbor (K-NN), Support Vector Machine (SVM).

\* Correspondence Address: 13th floor, Export promotion Bureau ,Ministry of Agriculture- Jahad, No. 369, Taleghani St., TERAN, IRAN, Postal code: 15934-16111, Tell: 09125136514.  
Email: s.saroei@ut.ac.ir